

Les reformulations quadratiques convexes : théorie et application à l'OPF

Amélie Lambert

Montpellier, 26 octobre 2022

Conservatoire National des arts et Métiers - Cédric

le **cnam**

cedric EA4629

Le problème d'optimisation des flux de puissance (OPF)

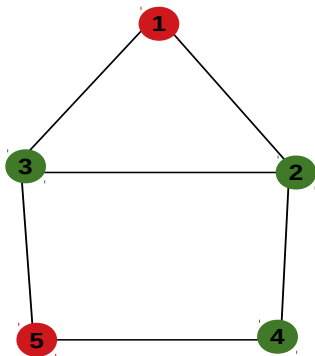
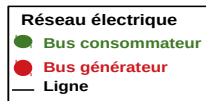
Un peu de littérature

La méthode Compact OPF (COPF)

Quelques résultats expérimentaux

Le problème d'optimisation des flux de puissance (OPF)

Le problème d'optimisation des flux de puissance (OPF)



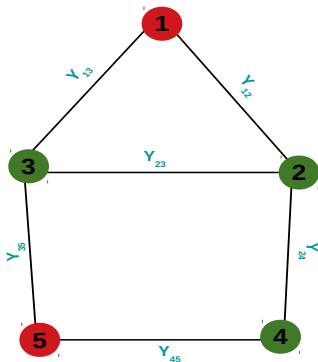
Le problème d'optimisation des flux de puissance (OPF)

Données

$Y_{jk} = G_{jk} + iB_{jk}$: admittance de la ligne (j,k)

Réseau électrique

- Bus consommateur
- Bus générateur
- Ligne



Matrice d'admittance $Y = \underbrace{G}_{\text{conductance}} + i \underbrace{B}_{\text{susceptance}}$

→ pour chaque ligne.

Le problème d'optimisation des flux de puissance (OPF)

Données

$Y_{jk} = G_{jk} + iB_{jk}$: admittance de la ligne (j,k)

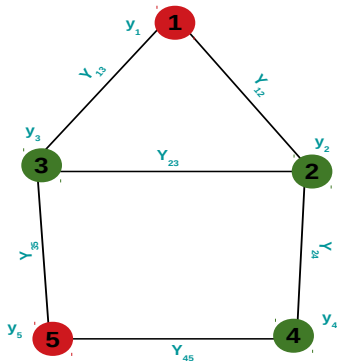
$y_k = g_k + ib_k$: admittance au bus k

Réseau électrique

● Bus consommateur

● Bus générateur

— Ligne



Vecteur d'admittance $y = \underbrace{g}_{\text{conductance}} + i \underbrace{b}_{\text{susceptance}}$

→ pour chaque bus.

Le problème d'optimisation des flux de puissance (OPF)

Données

$Y_{jk} = G_{jk} + iB_{jk}$: admittance de la ligne (j,k)

$y_k = g_k + ib_k$: admittance au bus k

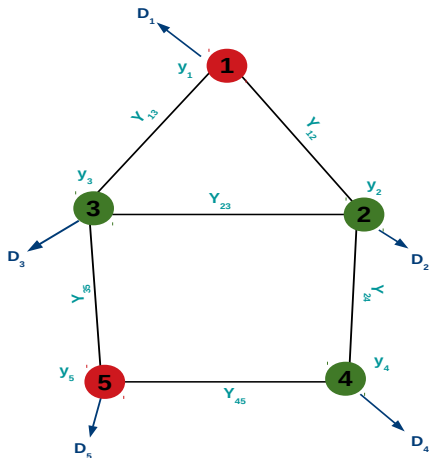
$D_k = p'_k + iq'_k$: demande au bus k

Réseau électrique

● Bus consommateur

● Bus générateur

— Ligne



Vecteur des demandes $D = \underbrace{p'}_{\text{demande active}} + i \underbrace{q'}_{\text{demande réactive}}$
→ puissance attendue à chaque bus.

Le problème d'optimisation des flux de puissance (OPF)

Données

$Y_{jk} = G_{jk} + iB_{jk}$: admittance de la ligne (j,k)

$y_k = g_k + ib_k$: admittance au bus k

$D_k = p'_k + iq'_k$: demande au bus k

Réseau électrique

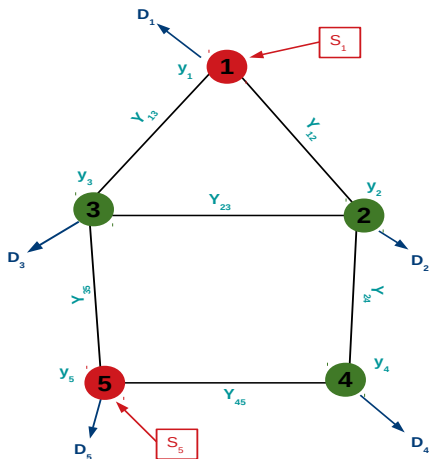
● Bus consommateur

● Bus générateur

— Ligne

Variables

$S_k = p_k + iq_k$: puissance au bus k



Vecteur des puissances générées à chaque bus générateur

$$S = \underbrace{p}_{\text{puissance active}} + i \underbrace{q}_{\text{puissance réactive}}$$

Le problème d'optimisation des flux de puissance (OPF)

Données

$Y_{jk} = G_{jk} + iB_{jk}$: admittance de la ligne (j,k)

$y_k = g_k + ib_k$: admittance au bus k

$D_k = p'_k + iq'_k$: demande au bus k

Réseau électrique

● Bus consommateur

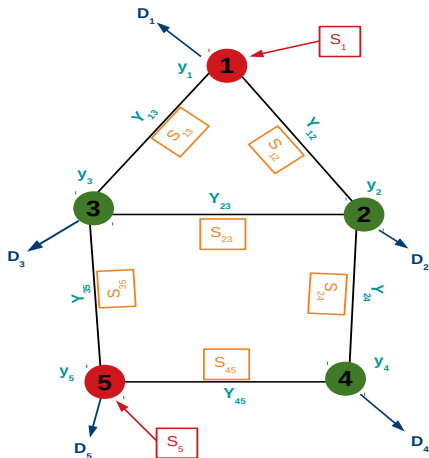
● Bus générateur

— Ligne

Variables

$S_k = p_k + iq_k$: puissance au bus k

$S_{jk} = s^r_{jk} + is^c_{jk}$: puissance de la ligne (j,k)



Matrice des puissances sur les lignes

$$S = \underbrace{s^r}_{\text{puissance active}} + i \underbrace{s^c}_{\text{puissance réactive}}$$

Le problème d'optimisation des flux de puissance (OPF)

Données

$Y_{jk} = G_{jk} + iB_{jk}$: admittance de la ligne (j,k)

$y_k = g_k + ib_k$: admittance au bus k

$D_k = p'_k + iq'_k$: demande au bus k

Réseau électrique

● Bus consommateur

● Bus générateur

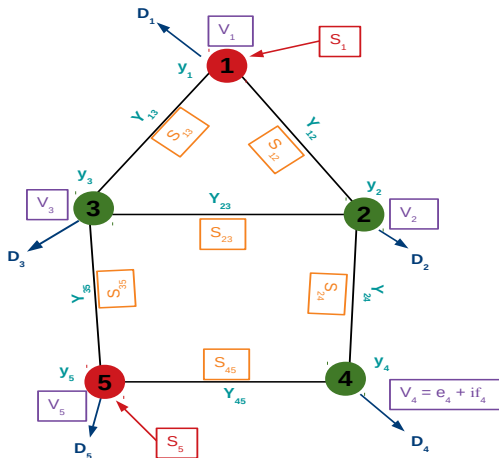
— Ligne

Variables

$S_k = p_k + iq_k$: puissance au bus k

$S_{jk} = s^r_{jk} + is^c_{jk}$: puissance de la ligne (j,k)

$V_k = e_k + jf_k$: tension au bus k



Vecteur des tensions $V = e + if$.

→ tension déterminée pour chaque bus.

Le problème d'optimisation des flux de puissance (OPF)

Données

$Y_{jk} = G_{jk} + iB_{jk}$: admittance de la ligne (j,k)

$y_k = g_k + ib_k$: admittance au bus k

$D_k = p_k^i + iq_k^i$: demande au bus k

Réseau électrique

● Bus consommateur

● Bus générateur

— Ligne

Variables

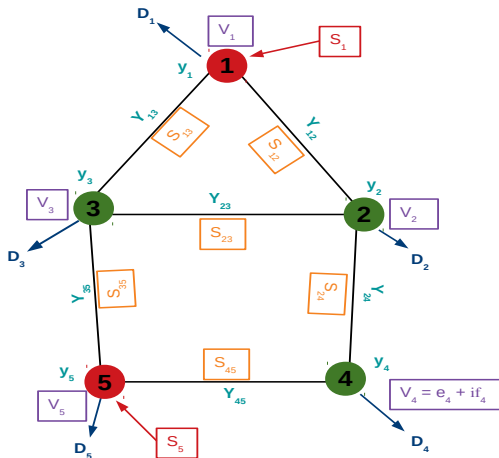
$S_k = p_k + iq_k$: puissance au bus k

$S_{jk} = s_{jk}^r + is_{jk}^c$: puissance de la ligne (j,k)

$V_k = e_k + jf_k$: tension au bus k

Objectif :

minimiser les coûts de production C



But

Déterminer les puissances et les tensions qui respectent la conservation des flux en satisfaisant la demande et minimisant les coûts de production C .

Une formulation QCQP [Torres and al. 98]

L'OPF s'écrit naturellement en variables complexes

→ Introduction de variables réelles dont la dimension est doublée :

$$\left\{ \begin{array}{l} x = (\underbrace{e}_{\text{partie réelle}}, \underbrace{f}_{\text{partie imag.}}) \in \mathbb{R}^{2n} \text{ tensions aux bus} \\ y = (\underbrace{p}_{\text{partie réelle}}, \underbrace{q}_{\text{partie imag.}}) \in \mathbb{R}^{2n} \text{ puissances aux bus générateurs} \\ s = (\underbrace{s^r}_{\text{partie réelle}}, \underbrace{s^c}_{\text{partie imag.}}) \in \mathbb{R}^{2m} \text{ puissances sur les lignes} \end{array} \right.$$

Une formulation QCQP

Conservation des flux à chaque bus k :

Puissance réelle :

$$\underbrace{g_k(e_k^2 + f_k^2) + \sum_{j \in \delta(k)} s_{kj}^r}_{\text{puissance arrivant au bus } k} + \underbrace{p_k}_{\substack{\text{puissance g\u00e9n\u00e9r\u00e9e au bus } k \\ =0 \text{ si bus non g\u00e9n\u00e9rateur}}} = \underbrace{p_k'}_{\text{demande au bus } k}$$

Puissance imaginaire :

$$b_k(e_k^2 + f_k^2) + \sum_{j \in \delta(k)} s_{kj}^c + q_k = q_k'$$

→ lin\u00e9aires en $s = (s^r, s^c)$ et $y = (p, q)$, s\u00e9parables en $x = (e, f)$.

Une formulation QCQP

Définition de la puissance sur chaque ligne (k, j)

Puissance réelle :

$$s_{kj}^r = -\mathbf{G}_{kj}(e_k^2 + f_k^2) + \mathbf{G}_{kj}(e_k e_j + f_k f_j) - \mathbf{B}_{kj}(e_k f_j - e_j f_k)$$

Puissance imaginaire :

$$s_{kj}^c = \mathbf{B}_{kj}(e_k^2 + f_k^2) - \mathbf{B}_{kj}(e_k e_j + f_k f_j) - \mathbf{G}_{kj}(e_k f_j - e_j f_k)$$

→ linéaires en $s = (s^r, s^c)$ et quadratiques en $x = (e, f)$.

Une formulation QCQP

Modules des tensions à chaque bus k

$$\underline{v}_k \leq e_k^2 + f_k^2 \leq \bar{v}_k$$

→ séparables en $x = (e, f)$, une des inégalités est convexe.

Limites thermiques sur chaque ligne (k, j)

$$(s_{kj}^r)^2 + (s_{kj}^c)^2 \leq \bar{S}_{kj}$$

→ séparables et convexes en $s = (s^r, s^c)$

Une formulation QCQP

Bornes sur les puissances à chaque bus k

Puissance réelle :

$$\underline{p}_k \leq p_k \leq \bar{p}_k$$

Puissance imaginaire :

$$\underline{q}_k \leq q_k \leq \bar{q}_k$$

→ linéaire en $y = (p, q)$

Fonction Objectif :

$$\min h(y) = \sum_{k \text{ generateur}} \left(c_k y_k^2 + c_k y_k \right)$$

→ quadratique convexe en $y = (p, q)$

Une formulation QCQP

(OPF) {

$$\min h(y) = \sum_{k \text{ generateur}} \left(c_k y_k^2 + c_k y_k \right) \rightarrow \text{coûts de production}$$

s.t.

$$b_k(x_k^2 + x_{k+n}^2) + a_k^T(y, s) = D_k \rightarrow \text{Conservation des flux}$$
$$\langle A_l, xx^T \rangle = s_l \rightarrow \text{Définition des puissances}$$
$$\underline{v}_k \leq x_k^2 + x_{k+n}^2 \leq \bar{v}_k \rightarrow \text{Modules de tensions}$$
$$s_l^2 + s_{l+m}^2 \leq \bar{S}_l \rightarrow \text{Limites thermiques}$$
$$\underline{p} \leq y \leq \bar{p} \rightarrow \text{Bornes des puissances}$$
$$x \in \mathbb{R}^{2n}, y \in \mathbb{R}^{2n}, s \in \mathbb{R}^{2m}$$

Un peu de littérature

Résolution exacte de (*OPF*)

(*OPF*) est un problème \mathcal{NP} -difficile.

En pratique : difficile de prouver l'optimalité globale

→ même pour des instances avec $n = 300$ (réseaux réels $n > 1000$).

Pourtant

- Algorithmes efficaces qui fournissent des solutions réalisables :
→ Méthodes de points intérieurs, approximations linéaires...
- Approches pour calculer des bornes inférieures serrées :
→ Basée sur la programmation semi-définie : **Relaxation du rang**

Construction de la relaxation du rang

$$\left\{ \begin{array}{l} \min \sum_{k \text{ generateur}} (c_k y_k^2 + c_k y_k) \\ \text{s.t. } b_k(x_k^2 + x_{k+n}^2) + a_k^\top(y, s) = D_k \\ \langle A_l, xx^\top \rangle = s_l \\ \underline{v}_k \leq x_k^2 + x_{k+n}^2 \leq \bar{v}_k \\ s_l^2 + s_{l+m}^2 \leq \bar{S}_l \\ \underline{p} \leq y \leq \bar{p} \\ x \in \mathbb{R}^{2n}, y \in \mathbb{R}^{2n}, s \in \mathbb{R}^{2m} \end{array} \right.$$

Construction de la relaxation du rang

$$\left\{ \begin{array}{l} \min \sum_{k \text{ generateur}} (\mathbf{c}_k y_k^2 + \mathbf{c}_k y_k) \\ \text{s.t. } \mathbf{b}_k(x_k^2 + x_{k+n}^2) + \mathbf{a}_k^\top(y, s) = D_k \\ \langle \mathbf{A}_l, \mathbf{x}\mathbf{x}^\top \rangle = s_l \\ \underline{v}_k \leq x_k^2 + x_{k+n}^2 \leq \bar{v}_k \\ s_l^2 + s_{l+m}^2 \leq \bar{s}_l \\ \underline{p} \leq y \leq \bar{p} \\ \mathbf{x} \in \mathbb{R}^{2n}, \mathbf{y} \in \mathbb{R}^{2n}, \mathbf{s} \in \mathbb{R}^{2m} \end{array} \right. \iff \left\{ \begin{array}{l} \min \sum_{k \text{ generateur}} (\mathbf{c}_k Y_{kk} + \mathbf{c}_k y_k) \\ \text{s.t. } \mathbf{a}_k^\top(\mathbf{X}_{kk} + \mathbf{X}_{k+n, k+n}) + \mathbf{a}_k^\top(\mathbf{y}, \mathbf{s}) = D_k \\ \langle \mathbf{A}_l, \mathbf{X} \rangle = s_l \\ \underline{v}_k \leq X_{kk} + X_{k+n, k+n} \leq \bar{v}_k \\ S_{ll} + S_{l+m, l+m} \leq \bar{S}_l \\ \underline{p} \leq y \leq \bar{p} \\ \mathbf{X} = \mathbf{x}\mathbf{x}^\top, \mathbf{Y} = \mathbf{y}\mathbf{y}^\top, \mathbf{S} = \mathbf{s}\mathbf{s}^\top \\ \mathbf{y} \in \mathbb{R}^{2n}, \mathbf{s} \in \mathbb{R}^{2m} \\ (\mathbf{X}, \mathbf{Y}, \mathbf{S}) \in (\mathbf{S}_{2n}, \mathbf{S}_{2n}, \mathbf{S}_{2m}) \end{array} \right.$$

- Introduction des matrices variables $\mathbf{X} = \mathbf{x}\mathbf{x}^\top$, $\mathbf{Y} = \mathbf{y}\mathbf{y}^\top$ et $\mathbf{S} = \mathbf{s}\mathbf{s}^\top$
 → linéarisation de l'objectif et des contraintes ;

Construction de la relaxation du rang

$$\left\{ \begin{array}{l} \min \sum_{k \text{ generateur}} (\mathbf{c}_k y_k^2 + \mathbf{c}_k y_k) \\ \text{s.t. } \mathbf{b}_k(x_k^2 + x_{k+n}^2) + \mathbf{a}_k^\top(y, s) = D_k \\ \langle \mathbf{A}_l, \mathbf{x}\mathbf{x}^\top \rangle = s_l \\ \underline{v}_k \leq x_k^2 + x_{k+n}^2 \leq \bar{v}_k \\ s_l^2 + s_{l+m}^2 \leq \bar{S}_l \\ \underline{p} \leq y \leq \bar{p} \\ \mathbf{x} \in \mathbb{R}^{2n}, \mathbf{y} \in \mathbb{R}^{2n}, \mathbf{s} \in \mathbb{R}^{2m} \end{array} \right. \xrightarrow{\text{relax}} (SDP) \left\{ \begin{array}{l} \min \sum_{k \text{ generateur}} (\mathbf{c}_k Y_{kk} + \mathbf{c}_k y_k) \\ \text{s.t. } \mathbf{a}_k^\top(X_{kk} + X_{k+n, k+n}) + \mathbf{a}_k^\top(y, s) = D_k \\ \langle \mathbf{A}_l, \mathbf{X} \rangle = s_l \\ \underline{v}_k \leq X_{kk} + X_{k+n, k+n} \leq \bar{v}_k \\ S_{ll} + S_{l+m, l+m} \leq \bar{S}_l \\ \underline{p} \leq y \leq \bar{p} \\ \mathbf{X} = \mathbf{x}\mathbf{x}^\top, \mathbf{Y} - \mathbf{y}\mathbf{y}^\top \succeq 0, \mathbf{S} - \mathbf{s}\mathbf{s}^\top \succeq 0 \\ \mathbf{y} \in \mathbb{R}^{2n}, \mathbf{s} \in \mathbb{R}^{2m} \\ (\mathbf{X}, \mathbf{Y}, \mathbf{S}) \in (\mathbf{S}_{2n}, \mathbf{S}_{2n}, \mathbf{S}_{2m}) \end{array} \right.$$

- Introduction des matrices variables $\mathbf{X} = \mathbf{x}\mathbf{x}^\top$, $\mathbf{Y} = \mathbf{y}\mathbf{y}^\top$ et $\mathbf{S} = \mathbf{s}\mathbf{s}^\top$
 → linéarisation de l'objectif et des contraintes ;
- Relaxation des contraintes $\mathbf{Y} = \mathbf{y}\mathbf{y}^\top$ et $\mathbf{S} = \mathbf{s}\mathbf{s}^\top$:
 → $\mathbf{Y} - \mathbf{y}\mathbf{y}^\top \succeq 0$, $\mathbf{S} - \mathbf{s}\mathbf{s}^\top \succeq 0$

Construction de la relaxation du rang

$$\left\{ \begin{array}{l} \min \sum_{k \text{ generateur}} (\mathbf{c}_k y_k^2 + \mathbf{c}_k y_k) \\ \text{s.t. } \mathbf{b}_k(x_k^2 + x_{k+n}^2) + \mathbf{a}_k^\top(y, s) = D_k \\ \langle A_l, xx^\top \rangle = s_l \\ \underline{v}_k \leq x_k^2 + x_{k+n}^2 \leq \bar{v}_k \\ s_l^2 + s_{l+m}^2 \leq \bar{s}_l \\ \underline{p} \leq y \leq \bar{p} \\ x \in \mathbb{R}^{2n}, y \in \mathbb{R}^{2n}, s \in \mathbb{R}^{2m} \end{array} \right. \xrightarrow{\text{relax}} (SDP) \left\{ \begin{array}{l} \min \sum_{k \text{ generateur}} (\mathbf{c}_k Y_{kk} + \mathbf{c}_k y_k) \\ \text{s.t. } \mathbf{a}_k^\top(X_{kk} + X_{k+n, k+n}) + \mathbf{a}_k^\top(y, s) = D_k \\ \langle A_l, X \rangle = s_l \\ \underline{v}_k \leq X_{kk} + X_{k+n, k+n} \leq \bar{v}_k \\ s_{ll} + s_{l+m, l+m} \leq \bar{s}_l \\ \underline{p} \leq y \leq \bar{p} \\ X \succeq 0, Y - yy^\top \succeq 0, S - ss^\top \succeq 0 \\ y \in \mathbb{R}^{2n}, s \in \mathbb{R}^{2m} \\ (X, Y, S) \in (\mathbf{S}_{2n}, \mathbf{S}_{2n}, \mathbf{S}_{2m}) \end{array} \right.$$

- Introduction des matrices variables $X = xx^\top$, $Y = yy^\top$ et $S = ss^\top$
 → linéarisation de l'objectif et des contraintes ;
- Relaxation des contraintes $Y = yy^\top$ et $S = ss^\top$:
 → $Y - yy^\top \succeq 0$, $S - ss^\top \succeq 0$
- $X = xx^\top \iff X \succeq 0$ et $\text{rang}(X) = 1$:
 → on relâche $\text{rang}(X) = 1$

Branch-and-bound spatial basé sur la valeur (*SDP*) ?

- Comme les bornes sur les x et s n'apparaissent pas dans (*SDP*)
⇒ On ne peut pas resserrer les intervalles des variables.

Branch-and-bound spatial basé sur la valeur (*SDP*) ?

- Comme les bornes sur les x et s n'apparaissent pas dans (*SDP*)
⇒ On ne peut pas resserrer les intervalles des variables.
- Inclure des méthode de Bound-Tightening
⇒ Méthode *SDP*-BT [Gopinath and al. 2020]

Branch-and-bound spatial basé sur la valeur (*SDP*) ?

- Comme les bornes sur les x et s n'apparaissent pas dans (*SDP*)
⇒ On ne peut pas resserrer les intervalles des variables.
- Inclure des méthode de Bound-Tightening
⇒ Méthode *SDP*-BT [Gopinath and al. 2020]

Notre approche : Construire des relaxations quadratiques convexes atteignant la valeur de (*SDP*) :

- La méthode *RC-OPF* [Godard and al. 2019]
→ relaxation en un *QP* (cont. linéaires) : $\mathcal{O}((n + m)^2)$

Branch-and-bound spatial basé sur la valeur (*SDP*) ?

- Comme les bornes sur les x et s n'apparaissent pas dans (*SDP*)
⇒ On ne peut pas resserrer les intervalles des variables.
- Inclure des méthode de Bound-Tightening
⇒ Méthode *SDP*-BT [Gopinath and al. 2020]

Notre approche : Construire des relaxations quadratiques convexes atteignant la valeur de (*SDP*) :

- La méthode *RC-OPF* [Godard and al. 2019]
→ relaxation en un QP (cont. linéaires) : $\mathcal{O}((n + m)^2)$
- La méthode *COPF*
→ relaxation en un QCQP (cont. quadratiques) : $(\mathcal{O}(n + m))$

La méthode Reformulation Convexe OPF (RC-COPF)

La méthode RC-OPF [Godard and al. 2019]

Elle s'applique à une variante de l'OPF

→ pas de limites thermiques sur les lignes :

$$(OPF) \left\{ \begin{array}{l} \min \sum_{k \text{ generateur}} (c_k y_k^2 + c_k y_k) \\ \text{s.t. } b_k(x_k^2 + x_{k+n}^2) + a_k^T(y, s) = D_k \\ \langle A_l, xx^T \rangle = s_l \\ \underline{v}_k \leq x_k^2 + x_{k+n}^2 \leq \bar{v}_k \\ \boxed{s_l^2 + s_{l+m}^2 \leq \bar{S}_l} \\ \underline{p} \leq y \leq \bar{p} \\ x \in \mathbb{R}^{2n}, y \in \mathbb{R}^{2n}, s \in \mathbb{R}^{2m} \end{array} \right.$$

- Dans cette variante, on supprime les contraintes de limites thermiques.

La méthode RC-OPF [Godard and al. 2019]

Elle s'applique à une variante de l'OPF

→ pas de limites thermiques sur les lignes :

$$(OPF) \left\{ \begin{array}{l} \min \sum_{k \text{ generateur}} (c_k y_k^2 + c_k y_k) \\ \text{s.t. } b_k(x_k^2 + x_{k+n}^2) + a_k^T(y, s) = D_k \\ \langle A_l, xx^T \rangle = s_l \\ \underline{v}_k \leq x_k^2 + x_{k+n}^2 \leq \bar{v}_k \\ s_l^2 + s_{l+m}^2 \leq \bar{S}_l \\ \underline{p} \leq y \leq \bar{p} \\ x \in \mathbb{R}^{2n}, y \in \mathbb{R}^{2n}, s \in \mathbb{R}^{2m} \end{array} \right.$$

- Dans cette variante, on supprime les contraintes de limites thermiques.
- Avec la définition des puissances sur les lignes, on réécrit les contraintes de conservation des flux en fonction des variables x .

La méthode RC-OPF [Godard and al. 2019]

Elle s'applique à une variante de l'OPF

→ pas de limites thermiques sur les lignes :

$$(OPF) \left\{ \begin{array}{l} \min \sum_{k \text{ generateur}} (c_k y_k^2 + c_k y_k) \\ \text{s.t. } b_k(x_k^2 + x_{k+n}^2) + a_k^T(y, s) = D_k \\ \langle A_l, xx^T \rangle = s_l \\ \underline{v}_k \leq x_k^2 + x_{k+n}^2 \leq \bar{v}_k \\ s_l^2 + s_{l+m}^2 \leq \bar{S}_l \\ \underline{p} \leq y \leq \bar{p} \\ x \in \mathbb{R}^{2n}, y \in \mathbb{R}^{2n}, s \in \mathbb{R}^{2m} \end{array} \right. \Rightarrow (OPF') \left\{ \begin{array}{l} \min \sum_{k \text{ generateur}} (c_k y_k^2 + c_k y_k) \\ \text{s.t. } \langle A_k, xx^T \rangle + a_k^T y = D_k \\ \underline{v}_k \leq x_k^2 + x_{k+n}^2 \leq \bar{v}_k \\ \underline{p} \leq y \leq \bar{p} \\ x \in \mathbb{R}^{2n}, y \in \mathbb{R}^{2n} \end{array} \right.$$

- Dans cette variante, on supprime les contraintes de limites thermiques.
- Avec la définition des puissances sur les lignes, on réécrit les contraintes de conservation des flux en fonction des variables x .
- On peut supprimer les variables s .

Construction d'une famille de relax. quadratiques convexes

$$(OPF') \left\{ \begin{array}{l} \min h(y) \\ \text{s.t. } \langle A_k, xx^T \rangle + a_k^T y = D_k \\ \underline{v}_k \leq x_k^2 + x_{k+n}^2 \leq \bar{v}_k \\ \underline{p} \leq y \leq \bar{p} \\ x \in \mathbb{R}^{2n}, y \in \mathbb{R}^{2n} \end{array} \right.$$

Construction d'une famille de relax. quadratiques convexes

$$(OPF') \left\{ \begin{array}{l} \min h(y) \\ \text{s.t. } \langle A_k, xx^T \rangle + a_k^T y = D_k \\ \underline{v}_k \leq x_k^2 + x_{k+n}^2 \leq \bar{v}_k \\ \underline{p} \leq y \leq \bar{p} \\ x \in \mathbb{R}^{2n}, y \in \mathbb{R}^{2n} \end{array} \right. \iff (OPF') \left\{ \begin{array}{l} \min h(y) \\ \text{s.t. } \langle A_k, X \rangle + a_k^T y = D_k \\ \underline{v}_k \leq X_{kk} + X_{k+n,k+n} \leq \bar{v}_k \\ \underline{p} \leq y \leq \bar{p} \\ X = xx^T \\ x \in \mathbb{R}^{2n}, y \in \mathbb{R}^{2n}, X \in \mathbf{S}_{2n} \end{array} \right.$$

- Introduction de $(2n)^2$ variables X qui représentent les produits xx^T .
→ linéarisation des contraintes

Construction d'une famille de relax. quadratiques convexes

$$(OPF') \left\{ \begin{array}{l} \min h(y) \\ \text{s.t. } \langle A_k, xx^T \rangle + a_k^T y = D_k \\ \underline{v}_k \leq x_k^2 + x_{k+n}^2 \leq \bar{v}_k \\ \underline{p} \leq y \leq \bar{p} \\ x \in \mathbb{R}^{2n}, y \in \mathbb{R} \end{array} \right. \iff (OPF'_M) \left\{ \begin{array}{l} \min h(y) + \langle M, xx^T - X \rangle \\ \text{s.t. } \langle A_k, X \rangle + a_k^T y = D_k \\ \underline{v}_k \leq X_{kk} + X_{k+n, k+n} \leq \bar{v}_k \\ \underline{p} \leq y \leq \bar{p} \\ X = xx^T \\ x \in \mathbb{R}^{2n}, y \in \mathbb{R}, X \in \mathbf{S}_{2n} \end{array} \right.$$

- Introduction de $(2n)^2$ variables X qui représentent les produits xx^T .
→ linéarisation des contraintes
- Soient une matrice SDP $M \in \mathbf{S}_{2n}^+$, et

$$h_M(y, x, X) = h(y) + \langle M, xx^T - X \rangle = h(y) \text{ si } X = xx^T$$

Construction d'une famille de relax. quadratiques convexes

$$\begin{array}{l}
 (OPF') \left\{ \begin{array}{l}
 \min h(y) \\
 \text{s.t. } \langle A_k, xx^T \rangle + a_k^T y = D_k \\
 \underline{v}_k \leq x_k^2 + x_{k+n}^2 \leq \bar{v}_k \\
 \underline{p} \leq y \leq \bar{p} \\
 x \in \mathbb{R}^{2n}, y \in \mathbb{R}^{2n}
 \end{array} \right. \xrightarrow{\text{relax}} (OPF'_M) \left\{ \begin{array}{l}
 \min h(y) + \langle M, xx^T - X \rangle \\
 \text{s.t. } \langle A_k, X \rangle + a_k^T y = D_k \\
 \underline{v}_k \leq X_{kk} + X_{k+n, k+n} \leq \bar{v}_k \\
 \underline{p} \leq y \leq \bar{p} \\
 X_{ij} \leq u_i x_j + l_j x_i - u_i l_j \\
 X_{ij} \leq l_i x_j + u_j x_i - l_i u_j \\
 X_{ij} \geq u_i x_j + u_j x_i - u_i u_j \\
 X_{ij} \geq l_i x_j + l_j x_i - l_i l_j \\
 x \in \mathbb{R}^{2n}, y \in \mathbb{R}^{2n}, X \in \mathbf{S}_{2n}
 \end{array} \right.
 \end{array}$$

- Introduction de $(2n)^2$ variables X qui représentent les produits xx^T .
→ linéarisation des contraintes
- Soient une matrice SDP $M \in \mathbf{S}_{2n}^+$, et

$$h_M(y, x, X) = h(y) + \langle M, xx^T - X \rangle = h(y) \text{ si } X = xx^T$$

- On relâche $X = xx^T$ par les enveloppes de McCormick.

Calcul de la meilleure relaxation \rightsquigarrow via (*SDP*)

$$\begin{array}{l}
 (OPF') \left\{ \begin{array}{l}
 \min h(y) \\
 \text{s.t. } \langle A_k, xx^T \rangle + a_k^T y = D_k \\
 \underline{v}_k \leq x_k^2 + x_{k+n}^2 \leq \bar{v}_k \\
 \underline{p} \leq y \leq \bar{p} \\
 x \in \mathbb{R}^{2n}, y \in \mathbb{R}^{2n}
 \end{array} \right. \xrightarrow{\text{relax}} (OPF'_M) \left\{ \begin{array}{l}
 \min h(y) + \langle M, xx^T - X \rangle \\
 \text{s.t. } \langle A_k, X \rangle + a_k^T y = D_k \\
 \underline{v}_k \leq X_{kk} + X_{k+n, k+n} \leq \bar{v}_k \\
 \underline{p} \leq y \leq \bar{p} \\
 X_{ij} \leq u_i x_j + l_j x_i - u_i l_j \\
 X_{ij} \leq l_i x_j + u_j x_i - l_i u_j \\
 X_{ij} \geq u_i x_j + u_j x_i - u_i u_j \\
 X_{ij} \geq l_i x_j + l_j x_i - l_i l_j \\
 x \in \mathbb{R}^{2n}, y \in \mathbb{R}^{2n}, X \in \mathbf{S}_{2n}
 \end{array} \right.
 \end{array}$$

Trouver $M^* \succeq 0$ tel que $v(OPF'_{M^*})$ soit maximale ?

Calcul de la meilleure relaxation \rightsquigarrow via (SDP)

$$\begin{array}{l}
 (OPF') \left\{ \begin{array}{l}
 \min h(y) \\
 \text{s.t. } \langle A_k, xx^T \rangle + a_k^T y = D_k \\
 \underline{v}_k \leq x_k^2 + x_{k+n}^2 \leq \bar{v}_k \\
 \underline{p} \leq y \leq \bar{p} \\
 x \in \mathbb{R}^{2n}, y \in \mathbb{R}^{2n}
 \end{array} \right. \xrightarrow{\text{relax}} (OPF'_{M^*}) \left\{ \begin{array}{l}
 \min h(y) + \langle M^*, xx^T - X \rangle \\
 \text{s.t. } \langle A_k, X \rangle + a_k^T y = D_k \\
 \underline{v}_k \leq X_{kk} + X_{k+n, k+n} \leq \bar{v}_k \\
 \underline{p} \leq y \leq \bar{p} \\
 X_{ij} \leq u_i x_j + l_j x_i - u_i l_j \\
 X_{ij} \leq l_i x_j + u_j x_i - l_i u_j \\
 X_{ij} \geq u_i x_j + u_j x_i - u_i u_j \\
 X_{ij} \geq l_i x_j + l_j x_i - l_i l_j \\
 x \in \mathbb{R}^{2n}, y \in \mathbb{R}^{2n}, X \in \mathbf{S}_{2n}
 \end{array} \right.
 \end{array}$$

Trouver $M^* \succeq 0$ tel que $v(OPF'_{M^*})$ soit maximale ?

→ On construit M^* avec la solution opt. duale de la relaxation du rang.

Pour résumer l'algorithme RC-OPF

Algorithme RC-OPF

Phase 1 : Résoudre la relaxation du rang pour calculer M^*

Phase 2 : Résoudre (OPF') par un spatial b&b basé sur (OPF'_{M^*})

Pour résumer l'algorithme RC-OPF

Algorithme RC-OPF

Phase 1 : Résoudre la relaxation du rang pour calculer M^*

Phase 2 : Résoudre (OPF') par un spatial b&b basé sur (OPF'_{M^*})

Avantages

- (OPF'_{M^*}) atteint la valeur de la relaxation du rang
⇒ La borne à la racine est très serrée.

Pour résumer l'algorithme RC-OPF

Algorithme RC-OPF

Phase 1 : Résoudre la relaxation du rang pour calculer M^*

Phase 2 : Résoudre (OPF') par un spatial b&b basé sur (OPF'_{M^*})

Avantages

- (OPF'_{M^*}) atteint la valeur de la relaxation du rang
⇒ La borne à la racine est très serrée.
- (OPF'_{M^*}) a des contraintes linéaires.
→ le temps de résolution à chaque noeud est court.

Pour résumer l'algorithme RC-OPF

Algorithme RC-OPF

Phase 1 : Résoudre la relaxation du rang pour calculer M^*

Phase 2 : Résoudre (OPF') par un spatial b&b basé sur (OPF'_{M^*})

Avantages

- (OPF'_{M^*}) atteint la valeur de la relaxation du rang
⇒ La borne à la racine est très serrée.
- (OPF'_{M^*}) a des contraintes linéaires.
→ le temps de résolution à chaque noeud est court.

Mais la taille de la relaxation est en $\mathcal{O}(n^2)$

- On a $\mathcal{O}(n^2)$ égalités à forcer pour prouver l'optimalité,
→ en pratique, le branch-and-bound ne converge pas.

Pour résumer l'algorithme RC-OPF

Algorithme RC-OPF

Phase 1 : Résoudre la relaxation du rang pour calculer M^*

Phase 2 : Résoudre (OPF') par un spatial b&b basé sur (OPF'_{M^*})

Avantages

- (OPF'_{M^*}) atteint la valeur de la relaxation du rang
⇒ La borne à la racine est très serrée.
- (OPF'_{M^*}) a des contraintes linéaires.
→ le temps de résolution à chaque noeud est court.

Mais la taille de la relaxation est en $\mathcal{O}(n^2)$

- On a $\mathcal{O}(n^2)$ égalités à forcer pour prouver l'optimalité,
→ en pratique, le branch-and-bound ne converge pas.

→ construire une relaxation en $\mathcal{O}(n)$

La méthode Compact OPF (COPF)

Convexification des contraintes de l'OPF

$$\left\{ \begin{array}{l} b_k(x_k^2 + x_{k+n}^2) + a_k^\top(y, s) = D_k \\ \langle A_l, xx^\top \rangle = s_l \\ \underline{v}_k \leq x_k^2 + x_{k+n}^2 \leq \bar{v}_k \\ s_l^2 + s_{l+m}^2 \leq \bar{S}_l \\ \underline{p} \leq y \leq \bar{p} \\ x \in \mathbb{R}^{2n}, y \in \mathbb{R}^{2n}, s \in \mathbb{R}^{2m} \end{array} \right.$$

On considère l'OPF avec les limites thermiques sur les lignes

Convexification des contraintes de l'OPF

$$\left\{ \begin{array}{l} b_k(x_k^2 + x_{k+n}^2) + a_k^\top(y, s) = D_k \\ \langle A_l, xx^\top \rangle = s_l \\ \underline{v}_k \leq x_k^2 + x_{k+n}^2 \leq \bar{v}_k \\ s_l^2 + s_{l+m}^2 \leq \bar{S}_l \\ \underline{p} \leq y \leq \bar{p} \\ \boxed{z_k = x_k^2} \\ \boxed{w_l = s_l^2} \\ x \in \mathbb{R}^{2n}, y \in \mathbb{R}^{2n}, s \in \mathbb{R}^{2m} \end{array} \right.$$

Introduction de $2n + 2m$ variables :

- z_k qui représentent x_k^2
- w_l qui représentent s_l^2

Convexification des contraintes de l'OPF

$$\left\{ \begin{array}{l} b_k(x_k^2 + x_{k+n}^2) + a_k^\top(y, s) = D_k \\ \langle A_l, xx^\top \rangle = s_l \\ \underline{v}_k \leq x_k^2 + x_{k+n}^2 \leq \bar{v}_k \\ s_l^2 + s_{l+m}^2 \leq \bar{s}_l \\ \underline{p} \leq y \leq \bar{p} \\ z_k = x_k^2 \\ w_l = s_l^2 \\ x \in \mathbb{R}^{2n}, y \in \mathbb{R}^{2n}, s \in \mathbb{R}^{2m} \end{array} \right.$$

Définition des puissances

Convexification des contraintes de l'OPF

$$\left\{ \begin{array}{l} b_k(x_k^2 + x_{k+n}^2) + a_k^\top(y, s) = D_k \\ \langle A_l, xx^\top \rangle \leq s_l \\ -\langle A_l, xx^\top \rangle \leq -s_l \\ \underline{v}_k \leq x_k^2 + x_{k+n}^2 \leq \bar{v}_k \\ s_l^2 + s_{l+m}^2 \leq \bar{S}_l \\ \underline{p} \leq y \leq \bar{p} \\ z_k = x_k^2 \\ w_l = s_l^2 \\ x \in \mathbb{R}^{2n}, y \in \mathbb{R}^{2n}, s \in \mathbb{R}^{2m} \end{array} \right.$$

Définition des puissances

- i. Réécriture en deux inégalités équivalente

Convexification des contraintes de l'OPF

$$\left\{ \begin{array}{l} b_k(x_k^2 + x_{k+n}^2) + a_k^\top(y, s) = D_k \\ \langle A_l, xx^\top \rangle - \text{ev}(A_l) \sum_k (x_k^2 - z_k) \leq s_l \\ -\langle A_l, xx^\top \rangle - \text{ev}(-A_l) \sum_k (x_k^2 - z_k) \leq -s_l \\ \underline{v}_k \leq x_k^2 + x_{k+n}^2 \leq \bar{v}_k \\ s_l^2 + s_{l+m}^2 \leq \bar{s}_l \\ \underline{p} \leq y \leq \bar{p} \\ z_k = x_k^2 \\ w_l = s_l^2 \\ x \in \mathbb{R}^{2n}, y \in \mathbb{R}^{2n}, s \in \mathbb{R}^{2m} \end{array} \right.$$

Définition des puissances

- i. Réécriture en deux inégalités équivalente
- ii. Convexification avec la plus petite valeur propre

Convexification des contraintes de l'OPF

$$\left\{ \begin{array}{l} b_k(x_k^2 + x_{k+n}^2) + a_k^\top(y, s) = D_k \\ \langle A_l, xx^\top \rangle - \text{ev}(A_l) \sum_k (x_k^2 - z_k) \leq s_l \\ -\langle A_l, xx^\top \rangle - \text{ev}(-A_l) \sum_k (x_k^2 - z_k) \leq -s_l \\ \underline{v}_k \leq z_k + z_{k+n} \leq \bar{v}_k \\ s_l^2 + s_{l+m}^2 \leq \bar{S}_l \\ \underline{p} \leq y \leq \bar{p} \\ z_k = x_k^2 \\ w_l = s_l^2 \\ x \in \mathbb{R}^{2n}, y \in \mathbb{R}^{2n}, s \in \mathbb{R}^{2m} \end{array} \right.$$

Flux des puissances

Convexification des contraintes de l'OPF

$$\left\{ \begin{array}{l} b_k(z_k + z_{k+n}) + a_k^T(y, s) = D_k \\ \langle A_l, xx^T \rangle - \text{ev}(A_l) \sum_k (x_k^2 - z_k) \leq s_l \\ -\langle A_l, xx^T \rangle - \text{ev}(-A_l) \sum_k (x_k^2 - z_k) \leq -s_l \\ \underline{v}_k \leq z_k + z_{k+n} \leq \bar{v}_k \\ s_l^2 + s_{l+m}^2 \leq \bar{S}_l \\ \underline{p} \leq y \leq \bar{p} \\ z_k = x_k^2 \\ w_l = s_l^2 \\ x \in \mathbb{R}^{2n}, y \in \mathbb{R}^{2n}, s \in \mathbb{R}^{2m} \end{array} \right.$$

Flux des puissances

- linéarisation avec les variables z_k

Convexification des contraintes de l'OPF

$$\left\{ \begin{array}{l} b_k(z_k + z_{k+n}) + a_k^\top(y, s) = D_k \\ \langle A_l, xx^\top \rangle - \text{ev}(A_l) \sum_k (x_k^2 - z_k) \leq s_l \\ -\langle A_l, xx^\top \rangle - \text{ev}(-A_l) \sum_k (x_k^2 - z_k) \leq -s_l \\ \underline{v}_k \leq x_k^2 + x_{k+n}^2 \leq \bar{v}_k \\ s_l^2 + s_{l+m}^2 \leq \bar{s}_l \\ \underline{p} \leq y \leq \bar{p} \\ z_k = x_k^2 \\ w_l = s_l^2 \\ x \in \mathbb{R}^{2n}, y \in \mathbb{R}^{2n}, s \in \mathbb{R}^{2m} \end{array} \right.$$

Modules de tension

Convexification des contraintes de l'OPF

$$\left\{ \begin{array}{l} b_k(z_k + z_{k+n}) + a_k^\top(y, s) = D_k \\ \langle A_l, xx^\top \rangle - \text{ev}(A_l) \sum_k (x_k^2 - z_k) \leq s_l \\ -\langle A_l, xx^\top \rangle - \text{ev}(-A_l) \sum_k (x_k^2 - z_k) \leq -s_l \\ \underline{v}_k \leq z_k + z_{k+n} \leq \bar{v}_k \\ s_l^2 + s_{l+m}^2 \leq \bar{S}_l \\ \underline{p} \leq y \leq \bar{p} \\ z_k = x_k^2 \\ w_l = s_l^2 \\ x \in \mathbb{R}^{2n}, y \in \mathbb{R}^{2n}, s \in \mathbb{R}^{2m} \end{array} \right.$$

Modules de tension

- linéarisation avec les variables z_k

Convexification des contraintes de l'OPF

$$\left\{ \begin{array}{l} b_k(z_k + z_{k+n}) + a_k^\top(y, s) = D_k \\ \langle A_l, xx^\top \rangle - \text{ev}(A_l) \sum_k (x_k^2 - z_k) \leq s_l \\ -\langle A_l, xx^\top \rangle - \text{ev}(-A_l) \sum_k (x_k^2 - z_k) \leq -s_l \\ \underline{v}_k \leq z_k + z_{k+n} \leq \bar{v}_k \\ \boxed{s_l^2 + s_{l+m}^2 \leq \bar{S}_l} \\ \underline{p} \leq y \leq \bar{p} \\ z_k = x_k^2 \\ w_l = s_l^2 \\ x \in \mathbb{R}^{2n}, y \in \mathbb{R}^{2n}, s \in \mathbb{R}^{2m} \end{array} \right.$$

Limites thermiques

Convexification des contraintes de l'OPF

$$\left\{ \begin{array}{l} b_k(z_k + z_{k+n}) + a_k^\top(y, s) = D_k \\ \langle A_l, xx^\top \rangle - \text{ev}(A_l) \sum_k (x_k^2 - z_k) \leq s_l \\ -\langle A_l, xx^\top \rangle - \text{ev}(-A_l) \sum_k (x_k^2 - z_k) \leq -s_l \\ \underline{v}_k \leq z_k + z_{k+n} \leq \bar{v}_k \\ \boxed{w_l + w_{l+m} \leq \bar{S}_l} \\ \underline{p} \leq y \leq \bar{p} \\ z_k = x_k^2 \\ w_l = s_l^2 \\ x \in \mathbb{R}^{2n}, y \in \mathbb{R}^{2n}, s \in \mathbb{R}^{2m} \end{array} \right.$$

Limites thermiques

- linéarisation avec les variables w_l

Convexification des contraintes de l'OPF

$$\left\{ \begin{array}{l} b_k(z_k + z_{k+n}) + a_k^\top(y, s) = D_k \\ \langle A_l, xx^\top \rangle - \text{ev}(A_l) \sum_k (x_k^2 - z_k) \leq s_l \\ -\langle A_l, xx^\top \rangle - \text{ev}(-A_l) \sum_k (x_k^2 - z_k) \leq -s_l \\ \underline{v}_k \leq z_k + z_{k+n} \leq \bar{v}_k \\ w_l + w_{l+m} \leq \bar{s}_l \\ \underline{p} \leq y \leq \bar{p} \\ \boxed{\begin{array}{l} z_k = x_k^2 \\ w_l = s_l^2 \end{array}} \\ x \in \mathbb{R}^{2n}, y \in \mathbb{R}^{2n}, s \in \mathbb{R}^{2m} \end{array} \right.$$

Définition des carrés des variables

Convexification des contraintes de l'OPF

$$\left\{ \begin{array}{l}
 b_k(z_k + z_{k+n}) + a_k^\top(y, s) = D_k \\
 \langle A_l, xx^\top \rangle - \text{ev}(A_l) \sum_k (x_k^2 - z_k) \leq s_l \\
 -\langle A_l, xx^\top \rangle - \text{ev}(-A_l) \sum_k (x_k^2 - z_k) \leq -s_l \\
 \underline{v}_k \leq z_k + z_{k+n} \leq \bar{v}_k \\
 w_l + w_{l+m} \leq \bar{s}_l \\
 \underline{p} \leq y \leq \bar{p} \\
 \boxed{\begin{array}{l}
 x_k^2 \leq z_k \leq (u_k + \ell_k)x_k - u_k \ell_k \\
 s_l^2 \leq w_l \leq (u'_l + \ell'_l)s_l - u'_l \ell'_l
 \end{array}} \\
 x \in \mathbb{R}^{2n}, y \in \mathbb{R}^{2n}, s \in \mathbb{R}^{2m}
 \end{array} \right.$$

avec $\ell_k \leq x_k \leq u_k$ and $\ell'_l \leq s_l \leq u'_l$

Définition des carrés des variables

- relaxation convexe

Fonction objectif

Soient les vecteurs de paramètres $\alpha, \gamma, \lambda, \delta$, et la fonction paramétrée :

$$h_{\alpha, \gamma, \lambda, \delta}(x, y, s, z, w) = \underbrace{\sum_k (C_k y_k^2 + c_k y_k)}_{\text{coûts convexes}}$$

Fonction objectif

Soient les vecteurs de paramètres $\alpha, \gamma, \lambda, \delta$, et la fonction paramétrée :

$$h_{\alpha, \gamma, \lambda, \delta}(x, y, s, z, w) = \underbrace{\sum_k (C_k y_k^2 + c_k y_k)}_{\text{coûts convexes}} + \underbrace{\sum_k \alpha_k (b_k (x_k^2 + x_{k+n}^2) + a_k^\top (y, s) - D_k)}_{\text{conservation des flux}}$$

Fonction objectif

Soient les vecteurs de paramètres $\alpha, \gamma, \lambda, \delta$, et la fonction paramétrée :

$$h_{\alpha, \gamma, \lambda, \delta}(x, y, s, z, w) = \underbrace{\sum_k (C_k y_k^2 + c_k y_k)}_{\text{coûts convexes}} + \underbrace{\sum_k \alpha_k (b_k (x_k^2 + x_{k+n}^2) + a_k^T (y, s) - D_k)}_{\text{conservation des flux}} + \underbrace{\sum_i \gamma_i (A_i, x x^T) - s_i}_{\text{def. puissance}}$$

Fonction objectif

Soient les vecteurs de paramètres $\alpha, \gamma, \lambda, \delta$, et la fonction paramétrée :

$$h_{\alpha, \gamma, \lambda, \delta}(x, y, s, z, w) = \underbrace{\sum_k (C_k y_k^2 + c_k y_k)}_{\text{coûts convexes}} + \underbrace{\sum_k \alpha_k (b_k (x_k^2 + x_{k+n}^2) + a_k^T (y, s) - D_k)}_{\text{conservation des flux}} \\ + \underbrace{\sum_i \gamma_i (A_i, x x^T) - s_i}_{\text{def. puissance}} + \underbrace{\sum_k \lambda_k (x_k^2 - z_k)}_{\text{perturbation diag.}}$$

Fonction objectif

Soient les vecteurs de paramètres $\alpha, \gamma, \lambda, \delta$, et la fonction paramétrée :

$$\begin{aligned} h_{\alpha, \gamma, \lambda, \delta}(x, y, s, z, w) = & \underbrace{\sum_k (C_k y_k^2 + c_k y_k)}_{\text{coûts convexes}} + \underbrace{\sum_k \alpha_k (b_k (x_k^2 + x_{k+n}^2) + a_k^T (y, s) - D_k)}_{\text{conservation des flux}} \\ & + \underbrace{\sum_i \gamma_i (A_i, x x^T) - s_i}_{\text{def. puissance}} + \underbrace{\sum_k \lambda_k (x_k^2 - z_k)}_{\text{perturbation diag.}} + \underbrace{\sum_l \delta_l (s_l^2 - w_l)}_{\text{perturbation diag.}} \end{aligned}$$

Fonction objectif

Soient les vecteurs de paramètres $\alpha, \gamma, \lambda, \delta$, et la fonction paramétrée :

$$\begin{aligned} h_{\alpha, \gamma, \lambda, \delta}(x, y, s, z, w) &= \underbrace{\sum_k (C_k y_k^2 + c_k y_k)}_{\text{coûts convexes}} + \underbrace{\sum_k \alpha_k (b_k (x_k^2 + x_{k+n}^2) + a_k^T(y, s) - D_k)}_{\text{conservation des flux}} \\ &+ \underbrace{\sum_i \gamma_i (A_i, x x^T) - s_i}_{\text{def. puissance}} + \underbrace{\sum_k \lambda_k (x_k^2 - z_k)}_{\text{perturbation diag.}} + \underbrace{\sum_l \delta_l (s_l^2 - w_l)}_{\text{perturbation diag.}} \\ &= h(y) \end{aligned}$$

Si :

- (x, y, s) est une solution réalisable de (OPF)

Fonction objectif

Soient les vecteurs de paramètres $\alpha, \gamma, \lambda, \delta$, et la fonction paramétrée :

$$\begin{aligned} h_{\alpha, \gamma, \lambda, \delta}(x, y, s, z, w) &= \underbrace{\sum_k (C_k y_k^2 + c_k y_k)}_{\text{coûts convexes}} + \underbrace{\sum_k \alpha_k (b_k (x_k^2 + x_{k+n}^2) + a_k^T(y, s) - D_k)}_{\text{conservation des flux}} \\ &+ \underbrace{\sum_i \gamma_i (A_i, x x^T) - s_i}_{\text{def. puissance}} + \underbrace{\sum_k \lambda_k (x_k^2 - z_k)}_{\text{perturbation diag.}} + \underbrace{\sum_l \delta_l (s_l^2 - w_l)}_{\text{perturbation diag.}} \\ &= h(y) \end{aligned}$$

Si :

- (x, y, s) est une solution réalisable de (OPF)
- $z_k = x_k^2$ et $w_l = s_l^2$

Une famille de relaxations quadratiques convexes

$$\left(OPF_{\alpha, \gamma, \lambda, \delta} \right) \left\{ \begin{array}{l}
 \min h_{\alpha, \gamma, \lambda, \delta}(x, y, s, z, w) \\
 \text{s.t. } b_k(z_k + z_{k+n}) + a_k^T(y, s) = D_k \\
 \langle A_I, xx^T \rangle - \text{ev}(A_I) \sum_k (x_k^2 - z_k) \leq s_I \\
 -\langle A_I, xx^T \rangle - \text{ev}(-A_I) \sum_k (x_k^2 - z_k) \leq -s_I \\
 \underline{v}_k \leq z_k + z_{k+n} \leq \bar{v}_k \\
 w_I + w_{I+m} \leq \bar{s}_I \\
 \underline{p} \leq y \leq \bar{p} \\
 x_k^2 \leq z_k \leq (u_k + l_k)x_k - u_k l_k \\
 s_I^2 \leq w_I \leq (u'_I + l'_I)s_I - u'_I l'_I \\
 x \in \mathbb{R}^{2n}, y \in \mathbb{R}^{2n}, s \in \mathbb{R}^{2m}
 \end{array} \right.$$

Une famille de relaxations quadratiques convexes

$$(OPF_{\alpha, \gamma, \lambda, \delta}) \left\{ \begin{array}{l} \min h_{\alpha, \gamma, \lambda, \delta}(x, y, s, z, w) \\ \text{s.t. } b_k(z_k + z_{k+n}) + a_k^T(y, s) = D_k \\ \langle A_l, xx^T \rangle - \text{ev}(A_l) \sum_k (x_k^2 - z_k) \leq s_l \\ -\langle A_l, xx^T \rangle - \text{ev}(-A_l) \sum_k (x_k^2 - z_k) \leq -s_l \\ \underline{v}_k \leq z_k + z_{k+n} \leq \bar{v}_k \\ w_l + w_{l+m} \leq \bar{s}_l \\ \underline{p} \leq y \leq \bar{p} \\ x_k^2 \leq z_k \leq (u_k + l_k)x_k - u_k l_k \\ s_l^2 \leq w_l \leq (u'_l + l'_l)s_l - u'_l l'_l \\ x \in \mathbb{R}^{2n}, y \in \mathbb{R}^{2n}, s \in \mathbb{R}^{2m} \end{array} \right.$$

On veut calculer les valeurs paramètre $(\alpha, \gamma, \lambda, \delta)$ tel que :

- i. $h_{\alpha, \gamma, \lambda, \delta}(x, y, s, z, w)$ soit convexe
- ii. La valeur optimale de $(OPF_{\alpha, \gamma, \lambda, \delta})$ soit la plus grande possible

Une famille de relaxations quadratiques convexes

$$\left(OPF_{\alpha, \gamma, \lambda, \delta} \right) \left\{ \begin{array}{l}
 \min h_{\alpha, \gamma, \lambda, \delta}(x, y, s, z, w) \\
 \text{s.t. } b_k(z_k + z_{k+n}) + a_k^T(y, s) = D_k \\
 \langle A_l, xx^T \rangle - \text{ev}(A_l) \sum_k (x_k^2 - z_k) \leq s_l \\
 -\langle A_l, xx^T \rangle - \text{ev}(-A_l) \sum_k (x_k^2 - z_k) \leq -s_l \\
 \underline{v}_k \leq z_k + z_{k+n} \leq \bar{v}_k \\
 w_l + w_{l+m} \leq \bar{s}_l \\
 \underline{p} \leq y \leq \bar{p} \\
 x_k^2 \leq z_k \leq (u_k + l_k)x_k - u_k l_k \\
 s_l^2 \leq w_l \leq (u'_l + l'_l)s_l - u'_l l'_l \\
 x \in \mathbb{R}^{2n}, y \in \mathbb{R}^{2n}, s \in \mathbb{R}^{2m}
 \end{array} \right.$$

On veut calculer les valeurs paramètre $(\alpha, \gamma, \lambda, \delta)$ tel que :

- i. $h_{\alpha, \gamma, \lambda, \delta}(x, y, s, z, w)$ soit convexe
- ii. La valeur optimale de $(OPF_{\alpha, \gamma, \lambda, \delta})$ soit la plus grande possible

→ Utilisation de la relaxation du rang.

Quels paramètres pour atteindre la valeur de (*SDP*) ?

$$\begin{array}{l}
 \min \sum_{k \text{ generateur}} (c_k y_k^2 + c_k y_k) \\
 \text{s.t. } \boxed{a_k^x (X_{kk} + X_{k+n,k+n}) + a_k^T (y, s) = D_k} \leftarrow \alpha \\
 \boxed{\langle A_l, X \rangle = s_l} \leftarrow \gamma \\
 \boxed{\underline{v}_k \leq X_{kk} + X_{k+n,k+n} \leq \bar{v}_k} \leftarrow \lambda \\
 \boxed{S_{ll} + S_{l+m,l+m} \leq \bar{S}_l} \leftarrow \delta \\
 \underline{p} \leq y \leq \bar{p} \\
 X \succeq 0, Y - yy^T \succeq 0, S - ss^T \succeq 0 \\
 y \in \mathbb{R}^{2n}, s \in \mathbb{R}^{2m} \\
 (X, Y, S) \in (\mathbf{S}_{2n}, \mathbf{S}_{2n}, \mathbf{S}_{2m})
 \end{array}$$

(*SDP*)

Quels paramètres pour atteindre la valeur de (*SDP*) ?

$$\begin{array}{l}
 \min \sum_{k \text{ generateur}} (c_k y_k^2 + c_k y_k) \\
 \text{s.t. } \boxed{a_k^x (X_{kk} + X_{k+n,k+n}) + a_k^T (y, s) = D_k} \leftarrow \alpha \\
 \boxed{\langle A_l, X \rangle = s_l} \leftarrow \gamma \\
 \boxed{\underline{v}_k \leq X_{kk} + X_{k+n,k+n} \leq \bar{v}_k} \leftarrow \lambda \\
 \boxed{S_{ll} + S_{l+m,l+m} \leq \bar{S}_l} \leftarrow \delta \\
 \underline{p} \leq y \leq \bar{p} \\
 X \succeq 0, Y - yy^T \succeq 0, S - ss^T \succeq 0 \\
 y \in \mathbb{R}^{2n}, s \in \mathbb{R}^{2m} \\
 (X, Y, S) \in (\mathbf{S}_{2n}, \mathbf{S}_{2n}, \mathbf{S}_{2m})
 \end{array}
 \quad (SDP)$$

Théorème

Soient $(\alpha^*, \gamma^*, \lambda^*, \delta^*)$ les valeurs optimales duales de (*SDP*), on a :

$$v(OPF_{\alpha^*, \gamma^*, \lambda^*, \delta^*}) = v(SDP)$$

Pour résumer l'algorithme COPF

Algorithme COPF

Phase 1 : Résoudre (*SDP*) et obtenir $(\alpha^*, \gamma^*, \lambda^*, \delta^*)$

Phase 2 : Résoudre (*OPF*) par un b&b basé sur ($OPF_{\alpha^*, \gamma^*, \lambda^*, \delta^*}$)

Pour résumer l'algorithme COPF

Algorithme COPF

Phase 1 : Résoudre (SDP) et obtenir $(\alpha^*, \gamma^*, \lambda^*, \delta^*)$

Phase 2 : Résoudre (OPF) par un b&b basé sur $(OPF_{\alpha^*, \gamma^*, \lambda^*, \delta^*})$

Avantages

- La valeur optimale de $(OPF_{\alpha^*, \gamma^*, \lambda^*, \delta^*})$ est égale à celle de (SDP)
⇒ La borne à la racine est très serrée

Pour résumer l'algorithme COPF

Algorithme COPF

Phase 1 : Résoudre (SDP) et obtenir $(\alpha^*, \gamma^*, \lambda^*, \delta^*)$

Phase 2 : Résoudre (OPF) par un b&b basé sur ($OPF_{\alpha^*, \gamma^*, \lambda^*, \delta^*}$)

Avantages

- La valeur optimale de ($OPF_{\alpha^*, \gamma^*, \lambda^*, \delta^*}$) est égale à celle de (SDP)
⇒ La borne à la racine est très serrée
- La taille de la relaxation est en $\mathcal{O}(n + m)$
⇒ Seulement un nombre linéaire d'égalités à forcer pour prouver l'optimalité.

Pour résumer l'algorithme COPF

Algorithme COPF

Phase 1 : Résoudre (SDP) et obtenir $(\alpha^*, \gamma^*, \lambda^*, \delta^*)$

Phase 2 : Résoudre (OPF) par un b&b basé sur ($OPF_{\alpha^*, \gamma^*, \lambda^*, \delta^*}$)

Avantages

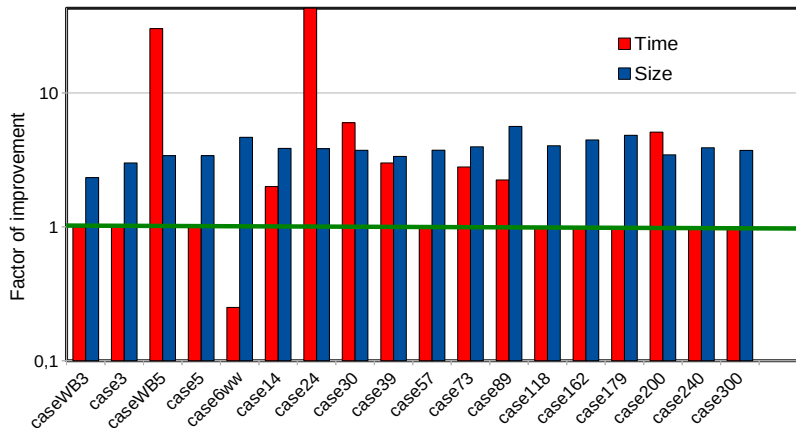
- La valeur optimale de ($OPF_{\alpha^*, \gamma^*, \lambda^*, \delta^*}$) est égale à celle de (SDP)
⇒ La borne à la racine est très serrée
- La taille de la relaxation est en $\mathcal{O}(n + m)$
⇒ Seulement un nombre linéaire d'égalités à forcer pour prouver l'optimalité.

Mais ($OPF_{\alpha^*, \gamma^*, \lambda^*, \delta^*}$) a des contraintes quadratiques

Quelques résultats expérimentaux

Résultats expérimentaux – sans limites thermiques : taille

20 instances avec au max. 300 bus, temps limite 1 heure.

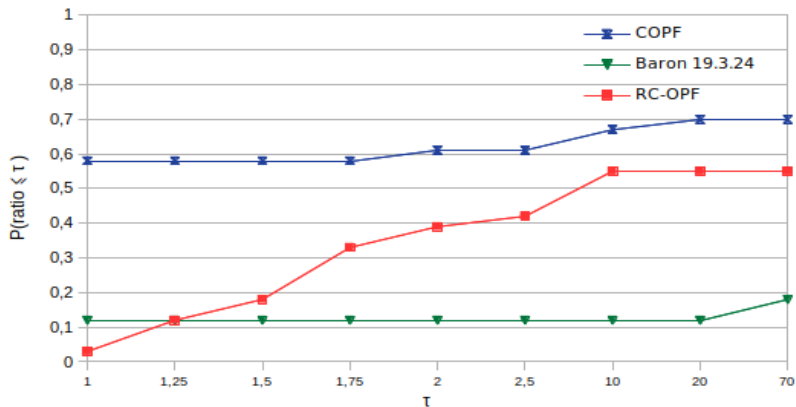


Observations :

- En moyenne la taille est réduite par une facteur 4.

Résultats expérimentaux – sans limites thermiques : CPU

20 instances avec au max. 300 bus, temps limite 1 heure.



Observations :

- En moyenne la taille est réduite par un facteur 4.
- Lors du B&B, nous ne forçons que $2n$ égalités $z_k = x_k^2$
⇒ réduction du temps B&B (facteur 6 en moyenne)

Résultats expérimentaux – avec limites thermiques : CPU

Temps limite : 30 min, SDP-BT : 576 threads en parallèle, COPF : 1 thread

<i>Instance</i>	SDP-BT [Gopinath and al. 2020]	COPF	<i>Factor</i>
24_ieee_rts_typ	0.31	7	22.58
30_ieee_typ	0.27	6	22.22
39_epri_typ	0.52	7	13.46
57_ieee_typ	1.07	9	8.41
73_ieee_rts_typ	1.55	27	17.42
89_pegase_typ	9.39	57	6.07
118_ieee_typ	7.07	66	9.34
162_ieee_dtc_typ	773.94	(1.78%)	
179_goc_typ	3.57	102	28.57
200_activ_typ	-	122	
24_ieee_rts_api	17.38	(3.08%)	
30_ieee_api	0.44	6	13.64
39_epri_api	0.35	9	25.71
57_ieee_api	0.99	11	11.11
73_ieee_rts_api	67.71	(5.66%)	
118_ieee_api	408.67	(7.83%)	
162_ieee_dtc_api	1111.21	(1.52%)	
179_goc_api	6.23	112	17.98
200_activ_api	-	140	

Conclusion et perspectives

2 relaxations quadratiques convexes pour résoudre (*OPF*) :

- RC-OPF : QP avec $\mathcal{O}(n^2)$ variables et contraintes
- COPF : QCQP avec $\mathcal{O}(n)$ variables et contraintes
⇒ On est capable de calculer une relaxation SOCP de (*OPF*) qui atteint la valeur de la relaxation du rang.

Prendre en charge des variantes de l'OPF :

- Intégrer plus de contraintes physiques
e.g. les contraintes de limites d'angles
- Traiter les problèmes "unit commitment"
Ajout de contraintes d'activation des générateurs en utilisant des variables binaires.
⇒ Les relaxations quadratiques convexes ont été conçues à l'origine pour les problèmes en nombres entiers.

Reformulation quadratique convexe : exemple cas binaire

$$\begin{cases} \min_{(x,y) \in \{0,1\}} & -2x^2 + xy \\ \text{valeur opt} & : -2 \\ \text{sol opt} & : (1,0) \end{cases}$$

$$Q = \begin{pmatrix} -2 & 0.5 \\ 0.5 & 0 \end{pmatrix} \not\geq 0$$

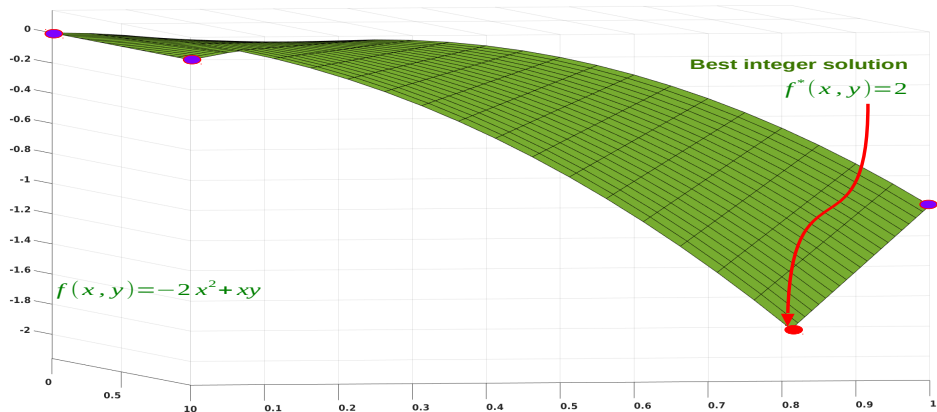
Reformulation quadratique convexe : exemple cas binaire

$$\begin{cases} \min_{(x,y) \in \{0,1\}} & -2x^2 + xy \end{cases}$$

valeur opt : -2

sol opt : (1,0)

$$Q = \begin{pmatrix} -2 & 0.5 \\ 0.5 & 0 \end{pmatrix} \not\geq 0$$



Reformulation quadratique convexe : exemple cas binaire

$$\begin{cases} \min_{(x,y) \in \{0,1\}} & -2x^2 + xy \\ \text{valeur opt} & : -2 \\ \text{sol opt} & : (1,0) \end{cases}$$

$$Q = \begin{pmatrix} -2 & 0.5 \\ 0.5 & 0 \end{pmatrix} \not\equiv 0$$

$$\text{Soient } \lambda \text{ et } f_\lambda(x,y) = \underbrace{-2x^2 + xy}_{f(x,y)} + \lambda \underbrace{(x^2 - x + y^2 - y)}_{=0 \text{ si } x \text{ et } y \text{ binaires}} = f(x,y)$$

Reformulation quadratique convexe : exemple cas binaire

$$\begin{cases} \min_{(x,y) \in \{0,1\}} & -2x^2 + xy \\ \text{valeur opt} & : -2 \\ \text{sol opt} & : (1,0) \end{cases}$$

$$Q = \begin{pmatrix} -2 & 0.5 \\ 0.5 & 0 \end{pmatrix} \not\geq 0$$

Soient λ et $f_\lambda(x, y) = \underbrace{-2x^2 + xy}_{f(x,y)} + \lambda \underbrace{(x^2 - x + y^2 - y)}_{=0 \text{ si } x \text{ et } y \text{ binaires}} = f(x, y)$

Si $\lambda = -\lambda_{\min}(Q) = 2.1,$

$$f_\lambda(x, y) = .1x^2 + 2.1y^2 + xy - 2.1(x + y)$$

avec un Hessien $S = \begin{pmatrix} -2 & 0.5 \\ 0.5 & 0 \end{pmatrix} + \begin{pmatrix} 2.1 & 0 \\ 0 & 2.1 \end{pmatrix} = \begin{pmatrix} .1 & 0.5 \\ 0.5 & 2.1 \end{pmatrix} \succeq 0$

Convexification par la plus petite valeur propre [Hammer and Rubin 70]

Reformulation quadratique convexe : exemple cas binaire

$$\left\{ \begin{array}{l} \min_{(x,y) \in \{0,1\}} -2x^2 + xy \end{array} \right\} \Leftrightarrow \left\{ \begin{array}{l} \min_{(x,y) \in \{0,1\}} .1x^2 + 2.1y^2 \\ \quad + xy - 2.1(x + y) \end{array} \right.$$

$$Q = \begin{pmatrix} -2 & 0.5 \\ 0.5 & 0 \end{pmatrix} \not\geq 0 \quad S = \begin{pmatrix} .1 & 0.5 \\ 0.5 & 2.1 \end{pmatrix} \succeq 0$$

Soient λ et $f_\lambda(x, y) = \underbrace{-2x^2 + xy}_{f(x,y)} + \lambda \underbrace{(x^2 - x + y^2 - y)}_{=0 \text{ si } x \text{ et } y \text{ binaires}} = f(x, y)$

Si $\lambda = -\lambda_{\min}(Q) = 2.1,$

$$f_\lambda(x, y) = .1x^2 + 2.1y^2 + xy - 2.1(x + y)$$

avec un Hessien $S = \begin{pmatrix} -2 & 0.5 \\ 0.5 & 0 \end{pmatrix} + \begin{pmatrix} 2.1 & 0 \\ 0 & 2.1 \end{pmatrix} = \begin{pmatrix} .1 & 0.5 \\ 0.5 & 2.1 \end{pmatrix} \succeq 0$

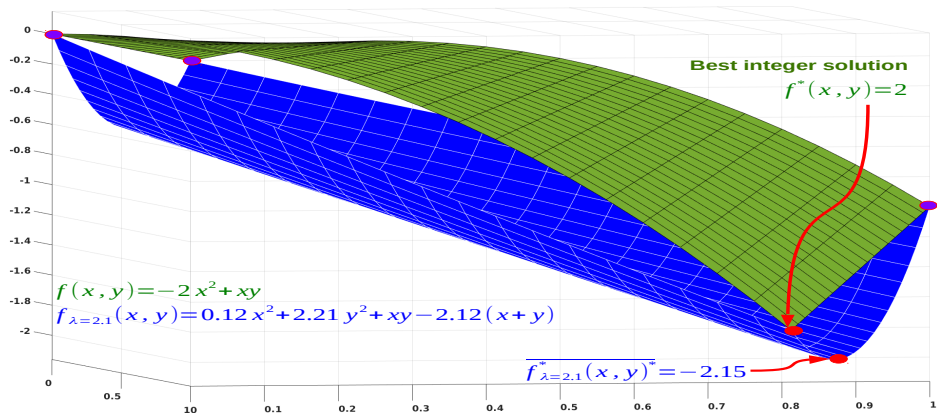
Convexification par la plus petite valeur propre [Hammer and Rubin 70]

⇒ on a une reformulation convexe équivalente sur chaque point binaire.

Reformulation quadratique convexe : exemple cas binaire

$$\left\{ \begin{array}{l} \min_{(x,y) \in \{0,1\}} -2x^2 + xy \end{array} \right\} \Leftrightarrow \left\{ \begin{array}{l} \min_{(x,y) \in \{0,1\}} .1x^2 + 2.1y^2 \\ \quad + xy - 2.1(x + y) \end{array} \right.$$

$$Q = \begin{pmatrix} -2 & 0.5 \\ 0.5 & 0 \end{pmatrix} \not\geq 0 \quad S = \begin{pmatrix} .1 & 0.5 \\ 0.5 & 2.1 \end{pmatrix} \succeq 0$$



Reformulation quadratique convexe : exemple cas binaire

$$\left\{ \begin{array}{l} \min_{(x,y) \in \{0,1\}} -2x^2 + xy \\ \end{array} \right\} \Leftrightarrow \left\{ \begin{array}{l} \min_{(x,y) \in \{0,1\}} .1x^2 + 2.1y^2 \\ \quad + xy - 2.1(x + y) \\ \end{array} \right.$$

$$Q = \begin{pmatrix} -2 & 0.5 \\ 0.5 & 0 \end{pmatrix} \not\geq 0 \quad S = \begin{pmatrix} .1 & 0.5 \\ 0.5 & 2.1 \end{pmatrix} \succeq 0$$

Soient λ_1, λ_2 et $f_{\lambda_1, \lambda_2}(x, y) = \underbrace{-2x^2 + xy}_{f(x,y)} + \lambda_1 \underbrace{(x^2 - x)}_{=0} + \lambda_2 \underbrace{(y^2 - y)}_{=0} = f(x, y)$

Reformulation quadratique convexe : exemple cas binaire

$$\left\{ \begin{array}{l} \min_{(x,y) \in \{0,1\}} -2x^2 + xy \\ \end{array} \right\} \Leftrightarrow \left\{ \begin{array}{l} \min_{(x,y) \in \{0,1\}} .1x^2 + 2.1y^2 \\ \quad + xy - 2.1(x + y) \end{array} \right.$$

$$Q = \begin{pmatrix} -2 & 0.5 \\ 0.5 & 0 \end{pmatrix} \not\geq 0 \quad S = \begin{pmatrix} .1 & 0.5 \\ 0.5 & 2.1 \end{pmatrix} \succeq 0$$

Soient λ_1, λ_2 et $f_{\lambda_1, \lambda_2}(x, y) = \underbrace{-2x^2 + xy}_{f(x,y)} + \lambda_1 \underbrace{(x^2 - x)}_{=0} + \lambda_2 \underbrace{(y^2 - y)}_{=0} = f(x, y)$

Calculer λ_1 et λ_2 qui maximisent la borne par relaxation continue

⇒ utiliser la programmation semi-définie positive

$$\left\{ \begin{array}{l} \min -2W_{22} + 0.5(W_{23} + W_{32}) \\ \text{s.t. } W_{22} - 0.5(W_{12} + W_{21}) = 0 \\ \quad W_{33} - 0.5(W_{13} + W_{31}) = 0 \\ \quad W_{11} = 1 \\ \quad W \succeq 0, W \in S^{n+1} \end{array} \right. \leftarrow \begin{array}{l} \lambda_1 \\ \lambda_2 \\ \rho \end{array} \left\{ \begin{array}{l} \max -\rho \\ \text{s.t.} \\ \left(\begin{array}{ccc} \rho & -0.5\lambda_1 & -0.5\lambda_2 \\ -0.5\lambda_1 & -2 + \lambda_1 & 0.5 \\ -0.5\lambda_2 & 0.5 & 0 + \lambda_2 \end{array} \right) \succeq 0 \end{array} \right.$$

$$\lambda_1^* = 4, \lambda_2^* = 1, \rho^* = 2$$

Reformulation quadratique convexe : exemple cas binaire

$$\left\{ \begin{array}{l} \min_{(x,y) \in \{0,1\}} -2x^2 + xy \\ \end{array} \right\} \Leftrightarrow \left\{ \begin{array}{l} \min_{(x,y) \in \{0,1\}} .1x^2 + 2.1y^2 \\ \quad + xy - 2.1(x + y) \\ \end{array} \right\} \Leftrightarrow \left\{ \begin{array}{l} \min_{(x,y) \in \{0,1\}} 2x^2 + y^2 \\ \quad + xy - 4x - y \\ \end{array} \right\}$$

$$Q = \begin{pmatrix} -2 & 0.5 \\ 0.5 & 0 \end{pmatrix} \not\geq 0 \quad S = \begin{pmatrix} .1 & 0.5 \\ 0.5 & 2.1 \end{pmatrix} \succeq 0 \quad S^* = \begin{pmatrix} 2 & 0.5 \\ 0.5 & 1 \end{pmatrix} \succeq 0$$

Soient λ_1, λ_2 et $f_{\lambda_1, \lambda_2}(x, y) = \underbrace{-2x^2 + xy}_{f(x,y)} + \lambda_1 \underbrace{(x^2 - x)}_{=0} + \lambda_2 \underbrace{(y^2 - y)}_{=0} = f(x, y)$

Calculer λ_1 et λ_2 qui maximisent la borne par relaxation continue

On a un nouveau Hessien $S^* = \begin{pmatrix} -2 & 0.5 \\ 0.5 & 0 \end{pmatrix} + \begin{pmatrix} 4 & 0 \\ 0 & 1 \end{pmatrix} = \begin{pmatrix} 2 & 0.5 \\ 0.5 & 1 \end{pmatrix} \succeq 0$

Quadratic Convex Reformulation [Billionnet, Elloumi, Plateau, 07-09]

Reformulation quadratique convexe : exemple cas binaire

$$\left\{ \begin{array}{l} \min_{(x,y) \in \{0,1\}} -2x^2 + xy \end{array} \right\} \Leftrightarrow \left\{ \begin{array}{l} \min_{(x,y) \in \{0,1\}} .1x^2 + 2.1y^2 \\ + xy - 2.1(x+y) \end{array} \right\} \Leftrightarrow \left\{ \begin{array}{l} \min_{(x,y) \in \{0,1\}} 2x^2 + y^2 \\ + xy - 4x - y \end{array} \right\}$$

$$Q = \begin{pmatrix} -2 & 0.5 \\ 0.5 & 0 \end{pmatrix} \not\geq 0 \quad S = \begin{pmatrix} .1 & 0.5 \\ 0.5 & 2.1 \end{pmatrix} \succeq 0 \quad S^* = \begin{pmatrix} 2 & 0.5 \\ 0.5 & 1 \end{pmatrix} \succeq 0$$

